

Таким образом, в первом периоде при доходе в \$1000 потребитель должен занять \$936,55 под 10% годовых, и это позволит ему потреблять товары на общую сумму \$1936,55. Если во втором периоде он займет 966,75 долларов, то он сможет потреблять во втором периоде товары на 1936,55 долларов, и остаток на третий период равен \$1936,55.

### **Литература**

1. *Лутц Круциш.* Финансирование и инвестиции. – СПб.: Питер, 2000
2. Словарь современной экономической теории / Под общ. ред. Дэвида У. Пирса. – Москва: ИНФРА-М, 1997.
3. *Chiang, A.* Fundamental Methods of Mathematical Economics. New York: McGraw-Hill, 1992
4. *Hal R. Varian-* Intermediate Microeconomics. A modern Approach. Third Edition. University of Michigan, 1987.

**С.Н. Скляр**

*профессор, руководитель направления «Естественные науки  
и информационные технологии»,  
Американский университет в Центральной Азии*

**О.С. Хлыбов**

*аспирант,  
Кыргызско-Российский Славянский университет*

## **Разностные схемы для решения задач теплопереноса в различных системах координат**

### **Введение**

Рассмотрим уравнение:

$$\frac{\varepsilon^2}{x^\lambda} \cdot \frac{d}{dx} \left( x^\lambda \frac{du}{dx} \right) - q(x)u = f(x), \quad x \in (0,1); \quad (1)$$

в котором  $\lambda$  и  $\varepsilon$  параметры, удовлетворяющие условиям:  $\lambda \geq 0$ ,  $0 < \varepsilon \leq 1$ ; функции  $q(x)$ ,  $f(x)$  заданы и, по крайней мере, непрерывны на отрезке  $[0,1]$ , причем:  $q(x) \geq 0$ . Уравнения вида (1) возникают во многих классических задачах теплопереноса: решая уравнение стационарной теплопроводности

$$\Delta u - qu = f \quad (2)$$

в шаре радиусом  $r$ , в случае центральной сферической симметрии, приходим к уравнению (1) с  $\lambda = 2$ ,  $\varepsilon = 1/r$ . Если уравнение (2) рассматривается в цилиндре с радиусом  $r$  и решение обладает свойством осевой симметрии, то получаем уравнение (1) с  $\lambda = 1$ ,  $\varepsilon = 1/r$  [5, 7]. При  $\lambda = 0$  уравнение (1) используется при моделировании процесса диффузионно-реактивного переноса в декартовой системе координат.

Характерной особенностью уравнения (1) является обращение в нуль коэффициента  $x^\lambda$  на левом конце интервала  $(0,1)$ , в котором ищется решение. Эта особенность играет важную роль при постановке краевых задач для уравнения (1): в случае  $\lambda \geq 1$  не будем задавать значение решения при  $x=0$ , а лишь потребуем его ограниченности:  $|u(0)| < +\infty$ . Таким образом, для  $\lambda \geq 1$  будем рассматривать задачу:

$$\begin{cases} \frac{\varepsilon^2}{x^\lambda} \cdot \frac{d}{dx} \left( x^\lambda \frac{du}{dx} \right) - q(x)u = f(x), & x \in (0,1), \lambda \geq 1; \\ |u(0)| < +\infty, \quad \xi u(1) + \eta \varepsilon u'(1) = \psi. \end{cases} \quad (3)$$

Рассуждая по аналогии с [5, с. 619], можно доказать справедливость следующего предельного перехода для решения задачи (3):

$$\lim_{x \rightarrow 0} [x^\lambda \cdot u'(x)] = 0. \quad (4)$$

Из уравнения (1) и соотношения (4) легко получить представление для производной:

$$u'(x) = \frac{1}{\varepsilon^2 x^\lambda} \int_0^x [f(s) + q(s)u(s)] ds, \quad (5)$$

которое, в свою очередь, позволяет доказать следующую оценку для решения задачи (3):

$$|u'(x)| \leq C \cdot x, \quad x \in (0,1). \quad (6)$$

При  $0 \leq \lambda < 1$  условие ограниченности решения на левом конце интервала  $(0,1)$  заменим условием первого рода и будем рассматривать классическую задачу:

$$\begin{cases} \frac{\varepsilon^2}{x^\lambda} \cdot \frac{d}{dx} \left( x^\lambda \frac{du}{dx} \right) - q(x)u = f(x), & x \in (0,1), 0 \leq \lambda < 1; \\ u(0) = \rho, \quad \xi u(1) + \eta \varepsilon u'(1) = \psi. \end{cases} \quad (7)$$

Заметим, что в задачах (3) и (7) при  $x=1$  ставится общее краевое условие (условие третьего рода), для коэффициентов которого мы предполагаем выполненными неравенства:  $\xi \geq 0, \eta \geq 0, \xi + \eta > 0$ . В настоящей работе будем обсуждать вопросы численного решения задач (3) и (7), поэтому будем считать, что их аналитические решения существуют и принадлежат классу  $C^1(0,1) \cap C^2(0,1)$ .

Когда  $\varepsilon$  достаточно мало, решения задач (3) и (7) могут сформировать пограничный слой у правого конца отрезка  $x=1$ , а в случае задачи (7), пограничный слой может возникнуть и у левого конца отрезка  $x=0$ . Численное решение таких задач (их называют сингулярно возмущенными) обычно требует использования специальных разностных схем, гарантирующих равномерную (по  $\varepsilon$ ) сходимость приближенного решения к точному [1]. Разностные схемы для решения задачи (3) в случаях  $\lambda = 1$  и  $\lambda = 2$  (для  $\eta = 0, \xi = 1$ ) были построены на основе интегро-интерполяционного метода А.А. Самарским [3]. Необходимо отметить также работы И.В. Фрязинова [6] и G. Stoyan [9], в которых рассмотрены случаи  $\lambda = 0, 1, 2$  и условие Дирихле ( $\xi = 1, \eta = 0$ ) на правом конце отрезка. Разностные схемы для решения задачи (3) в полной постановке и сферической системе координат ( $\lambda = 2$ ) были построены в [2].

В настоящей работе используется методика, предложенная в [4, 8] и обобщающая интегро-интерполяционный метод А.А. Самарского, поэтому она условно названа «про-

ексионным вариантом интегро-интерполяционного метода» (ПВИИМ). Этот метод, на наш взгляд, позволяет достаточно эффективно учитывать специфику исходной дифференциальной задачи, кроме того, он дает возможность одновременного вычисления как решения задачи, так и его производных.

### Построение разностной схемы для задачи (3)

На отрезке  $[0,1]$  рассмотрим произвольную, вообще говоря, неравномерную сетку.

$$0 = x_0 < x_1 < \dots < x_i < x_{i+1} < \dots < x_n = 1$$

с «шагами»  $h_i = x_{i+1} - x_i$ ,  $i = 1, 2, \dots, n-1$ . Дифференциальное уравнение (1) умножим на  $x^\lambda v(x)$ , где  $v(x)$  – некоторая достаточно гладкая функция (назовем ее «тестовой» функцией); результат проинтегрируем по сеточной ячейке  $[x_i, x_{i+1}]$  при  $i = 2, 3, \dots, n-1$  (ближайшая к левой границе сеточная ячейка  $[x_1, x_2]$  будет рассматриваться отдельно), в том числе и «по частям», в итоге получим:

$$\left( \varepsilon \varphi v - \varepsilon^2 u \cdot x^\lambda v' \right)_{x_i}^{x_{i+1}} + \varepsilon^2 \int_{x_i}^{x_{i+1}} u \frac{d}{dx} \left( x^\lambda \frac{dv}{dx} \right) dx = \int_{x_i}^{x_{i+1}} (f + qu) x^\lambda v dx. \quad (8)$$

В (8) принято обозначение:  $\varphi = \varepsilon x^\lambda u'(x)$ . В соответствии с принципом ПВИИМ, на каждой сеточной ячейке выберем две тестовые функции  $v^{(0)}(x)$  и  $v^{(1)}(x)$  как решения следующих задач:

$$\begin{cases} \frac{d}{dx} \left( x^\lambda \frac{dv^{(0)}}{dx} \right) = 0, & x \in (x_i, x_{i+1}); \\ v^{(0)}(x_i) = 1, & v^{(0)}(x_{i+1}) = 0. \end{cases} \quad (9)$$

$$\begin{cases} \frac{d}{dx} \left( x^\lambda \frac{dv^{(1)}}{dx} \right) = 0, & x \in (x_i, x_{i+1}); \\ v^{(1)}(x_i) = 0, & v^{(1)}(x_{i+1}) = 1. \end{cases} \quad (10)$$

Решения задач (9) и (10) легко записать в явной форме. Действительно, для  $\lambda = 1$ :

$$v^{(0)}(x) = \frac{\ln(x/x_{i+1})}{\ln(x_i/x_{i+1})}, \quad v^{(1)}(x) = \frac{\ln(x/x_i)}{\ln(x_{i+1}/x_i)}. \quad (11)$$

В случае  $\lambda \neq 1$  получим:

$$v^{(0)}(x) = \frac{x_i^{1-\lambda} - x^{1-\lambda}}{x_{i+1}^{1-\lambda} - x_i^{1-\lambda}}, \quad v^{(1)}(x) = \frac{x^{1-\lambda} - x_i^{1-\lambda}}{x_{i+1}^{1-\lambda} - x_i^{1-\lambda}}. \quad (12)$$

Подставляя (11) в (8), для случая  $\lambda = 1$  приходим к соотношениям ( $i = 2, 3, \dots, n-1$ )

$$-\varepsilon \varphi_i - \varepsilon^2 \frac{u_{i+1} - u_i}{\ln(x_i/x_{i+1})} = \int_{x_i}^{x_{i+1}} (f + qu) x v^{(0)} dx, \quad (13)$$

$$\varepsilon \varphi_{i+1} + \varepsilon^2 \frac{u_{i+1} - u_i}{\ln(x_i/x_{i+1})} = \int_{x_i}^{x_{i+1}} (f + qu) x v^{(1)} dx, \quad (14)$$

где  $u_i = u(x_i)$ ,  $\varphi = \varphi(x_i)$ . Осталось выбрать квадратурные формулы для вычисления интегралов в правых частях соотношений (13) и (14). Остановимся на следующем варианте:

$$\int_{x_i}^{x_{i+1}} (f + qu) x v^{(0)} dx \approx (f_i + q u_i) \int_{x_i}^{x_{i+1}} x v^{(0)} dx = -\frac{1}{2} (f_i + q u_i) \left[ x_i^2 + \frac{h_i x_{i+1/2}}{\ln(x_i/x_{i+1})} \right] \quad (15)$$

$$\int_{x_i}^{x_{i+1}} (f + qu) x v^{(1)} dx \approx (f_{i+1} + q_{i+1} u_{i+1}) \int_{x_i}^{x_{i+1}} x v^{(1)} dx = \frac{1}{2} (f_{i+1} + q_{i+1} u_{i+1}) \left[ x_{i+1}^2 + \frac{h_i x_{i+1/2}}{\ln(x_i/x_{i+1})} \right], \quad (16)$$

где

$$q_i = q(x_i), \quad f_i = f(x_i), \quad x_{i+1/2} = (x_i + x_{i+1})/2.$$

Пусть теперь  $\lambda \neq 1$ , подставим (12) в (8), в результате получим:

$$-\varepsilon \varphi_i + \varepsilon^2 (1 - \lambda) \frac{u_{i+1} - u_i}{x_{i+1}^{1-\lambda} - x_i^{1-\lambda}} = \int_{x_i}^{x_{i+1}} (f + qu) x^\lambda v^{(0)} dx, \quad (17)$$

$$\varepsilon \varphi_{i+1} - \varepsilon^2 (1 - \lambda) \frac{u_{i+1} - u_i}{x_{i+1}^{1-\lambda} - x_i^{1-\lambda}} = \int_{x_i}^{x_{i+1}} (f + qu) x^\lambda v^{(1)} dx. \quad (18)$$

Квадратурные формулы для вычисления интегралов в правых частях соотношений (17), (18) выбираем по аналогии с формулами (15), (16):

$$\int_{x_i}^{x_{i+1}} (f + qu) x^\lambda v^{(0)} dx \approx -\frac{1}{1 + \lambda} (f_i + q_i u_i) \left[ x_i^{1+\lambda} - h_i x_{i+1/2} \cdot \frac{1 - \lambda}{x_{i+1}^{1-\lambda} - x_i^{1-\lambda}} \right], \quad (19)$$

$$\int_{x_i}^{x_{i+1}} (f + qu) x^\lambda v^{(1)} dx \approx \frac{1}{1 + \lambda} (f_{i+1} + q_{i+1} u_{i+1}) \left[ x_{i+1}^{1+\lambda} - h_i x_{i+1/2} \cdot \frac{1 - \lambda}{x_{i+1}^{1-\lambda} - x_i^{1-\lambda}} \right]. \quad (20)$$

Будем считать, что  $\lambda > 1$  и рассмотрим ближайшую к левой границе сеточную ячейку  $[x_i, x_{i+1}] = [0, h_1]$ , определим на ней тестовую функцию  $v^{(0)}(x)$  из соотношений:

$$\begin{cases} \frac{d}{dx} \left( x^\lambda \frac{dv^{(0)}}{dx} \right) = 0, \quad x \in (0, x_2); \\ x^{\lambda-1} v^{(0)}(x) \Big|_{x=0} = 1, \quad x^{\lambda-1} v^{(0)}(x) \Big|_{x=x_2} = 0; \end{cases} \quad (21)$$

а функцию  $v^{(1)}(x)$  как решение следующей задачи:

$$\begin{cases} \frac{d}{dx} \left( x^\lambda \frac{dv^{(1)}}{dx} \right) = 0, \quad x \in (0, x_2); \\ x^{\lambda-1} v^{(1)}(x) \Big|_{x=0} = 0, \quad x^{\lambda-1} v^{(1)}(x) \Big|_{x=x_2} = 1. \end{cases} \quad (22)$$

Решения задач (21) и (22) легко находим:

$$v^{(0)}(x) = x^{1-\lambda} - x_2^{1-\lambda}, \quad v^{(1)}(x) = x_2^{1-\lambda}. \quad (23)$$

Подставляя функции (23) в интегро-разностное тождество (8) и используя квадратурные формулы, аналогичные формулам (19), (20), получим следующие разностные уравнения на сеточной ячейке  $[x_1, x_2]$ :

$$\varepsilon^2 \cdot \frac{u_2^h - u_1^h}{h_1} = \frac{h_1}{2(1+\lambda)} \cdot (f_1 + q_1 u_1^h), \quad \varepsilon \varphi_2^h = \frac{h_1^{1+\lambda}}{1+\lambda} \cdot (f_2 + q_2 u_2^h). \tag{24}$$

Здесь и далее, символами  $u_i^h, \varphi_i^h$  ( $i = 1, 2, \dots, n$ ) обозначены приближенные значения искомых величин  $u(x_i), \varphi(x_i)$  соответственно.

Для случая  $\lambda = 1$  на ячейке  $[x_1, x_2]$  рассмотрим две линейно независимые тестовые функции следующего вида:

$$v^{(0)}(x) = -\ln\left(\frac{x}{x_2}\right), \quad v^{(1)}(x) = 1. \tag{25}$$

Подставляя функции (25) в интегро-разностное тождество (8) и используя квадратурные формулы, аналогичные формулам (15), (16), получим разностные уравнения на сеточной ячейке  $[x_1, x_2]$

$$\varepsilon^2 \cdot \frac{u_2^h - u_1^h}{h_1} = \frac{h_1}{4} \cdot (f_1 + q_1 u_1^h), \quad \varepsilon \varphi_2^h = \frac{h_1^2}{2} \cdot (f_2 + q_2 u_2^h). \tag{26}$$

Отметим, что при выводе первых уравнений в 24 и (26), мы воспользовались свойством (6) решения задачи (3). Собирая воедино формулы (17)–(20) и добавляя уравнения (24), получаем разностную схему для решения задачи (3) в случае  $\lambda > 1$ :

$$\left\{ \begin{aligned} \varepsilon^2 \cdot \frac{u_i^h - u_{i-1}^h}{h_i} &= \frac{h_i}{2(1+\lambda)} \cdot (f_i + q_i u_i^h), \quad \varepsilon \varphi_i^h = \frac{h_i^{1+\lambda}}{1+\lambda} \cdot (f_i + q_i u_i^h), \\ \varepsilon \varphi_i^h + \varepsilon^2 (\lambda - 1) \cdot \frac{u_{i+1}^h - u_i^h}{x_{i+1}^{1-\lambda} - x_i^{1-\lambda}} &= \frac{1}{1+\lambda} (f_i + q_i u_i^h) \left[ x_i^{1+\lambda} + h_i x_{i+1/2} \cdot \frac{\lambda - 1}{x_{i+1}^{1-\lambda} - x_i^{1-\lambda}} \right], \\ \varepsilon \varphi_{i+1}^h + \varepsilon^2 (\lambda - 1) \cdot \frac{u_{i+1}^h - u_i^h}{x_{i+1}^{1-\lambda} - x_i^{1-\lambda}} &= \frac{1}{1+\lambda} (f_{i+1} + q_{i+1} u_{i+1}^h) \left[ x_{i+1}^{1+\lambda} + h_i x_{i+1/2} \cdot \frac{\lambda - 1}{x_{i+1}^{1-\lambda} - x_i^{1-\lambda}} \right], \\ i &= 2, 3, \dots, n-1; \quad \xi u_n^h + \eta \varphi_n^h = \psi. \end{aligned} \right. \tag{27}$$

В свою очередь, соотношения (13)–(16) и (26) приводят к разностной схеме для решения задачи (3) при  $\lambda = 1$ :

$$\left\{ \begin{aligned} \varepsilon^2 \cdot \frac{u_2^h - u_1^h}{h_1} &= \frac{h_1}{4} \cdot (f_1 + q_1 u_1^h), \quad \varepsilon \varphi_2^h = \frac{h_1}{2} \cdot (f_2 + q_2 u_2^h), \\ \varepsilon \varphi_i^h + \varepsilon^2 \frac{u_{i+1}^h - u_i^h}{\ln(x_i / x_{i+1})} &= \frac{1}{2} (f_i + q_i u_i^h) \left[ x_i^2 + \frac{h_i x_{i+1/2}}{\ln(x_i / x_{i+1})} \right], \\ \varepsilon \varphi_{i+1}^h + \varepsilon^2 \frac{u_{i+1}^h - u_i^h}{\ln(x_i / x_{i+1})} &= \frac{1}{2} (f_{i+1} + q_{i+1} u_{i+1}^h) \left[ x_{i+1}^2 + \frac{h_i x_{i+1/2}}{\ln(x_i / x_{i+1})} \right], \\ i &= 2, 3, \dots, n-1; \quad \xi u_n^h + \eta \varphi_n^h = \psi. \end{aligned} \right. \tag{28}$$

Заметим, что в системах (27) и (28) по  $2n-1$  уравнений для определения такого же количества неизвестных:  $u_i^h, (i = 1, 2, \dots, n); \varphi_i^h (i = 2, 3, \dots, n)$ ; величина  $\varphi_1^h$  определена в силу свойства (4) решения задачи (3).

Рассмотрим функцию:

$$a_\lambda(z) = \begin{cases} \left(\frac{2}{1+z}\right)^\lambda \frac{(1-\lambda)(1-z)}{1-z^{1-\lambda}}, & \text{при } \lambda \neq 1; \\ \frac{2}{1+z} \cdot \frac{z-1}{\ln z}, & \text{при } \lambda = 1, \end{cases}$$

определенную для  $z \in [0, 1]$ . При помощи этой функции перепишем разностные схемы (27) и (28) для задачи (3) в единой форме. Опуская технические детали, приведем окончательный результат:

$$\left\{ \begin{aligned} &\varphi_1^h = 0, \\ &-\varepsilon \varphi_i^h + \varepsilon^2 (x_{i+1/2})^\lambda \cdot a_\lambda \left(\frac{x_i}{x_{i+1}}\right) \cdot \frac{u_{i+1}^h - u_i^h}{h_i} = \frac{1}{1+\lambda} (f_i + q_i u_i^h) \left[ (x_{i+1/2})^{1+\lambda} \cdot a_\lambda \left(\frac{x_i}{x_{i+1}}\right) - (x_i)^{1+\lambda} \right], \\ &\varepsilon \varphi_{i+1}^h - \varepsilon^2 (x_{i+1/2})^\lambda \cdot a_\lambda \left(\frac{x_i}{x_{i+1}}\right) \cdot \frac{u_{i+1}^h - u_i^h}{h_i} = \frac{1}{1+\lambda} (f_{i+1} + q_{i+1} u_{i+1}^h) \left[ (x_{i+1})^{1+\lambda} - (x_{i+1/2})^{1+\lambda} \cdot a_\lambda \left(\frac{x_i}{x_{i+1}}\right) \right], \\ &i = 1, 2, \dots, n-1; \quad \xi u_n^h + \eta \varphi_n^h = \psi. \end{aligned} \right. \tag{29}$$

Если нет необходимости вычислять величины потоков  $\varphi_i^h$ , их можно исключить из системы (29) и получить стандартную трехточечную разностную схему для определения величин  $u_i^h (i = 1, 2, \dots, n)$ :

$$\left\{ \begin{aligned} &\varepsilon^2 \cdot \frac{u_2^h - u_1^h}{h_1} = \frac{h_1}{2(1+\lambda)} \cdot (f_1 + q_1 u_1^h), \\ &\varepsilon^2 \cdot \left[ (x_{i+1/2})^\lambda a_\lambda \left(\frac{x_i}{x_{i+1}}\right) \frac{u_{i+1}^h - u_i^h}{h_i} - (x_{i-1/2})^\lambda a_\lambda \left(\frac{x_{i-1}}{x_i}\right) \frac{u_i^h - u_{i-1}^h}{h_{i-1}} \right] = \\ &= \frac{(f_i + q_i u_i^h)}{(1+\lambda)} \left[ (x_{i+1/2})^{1+\lambda} \cdot a_\lambda \left(\frac{x_i}{x_{i+1}}\right) - (x_{i-1/2})^{1+\lambda} \cdot a_\lambda \left(\frac{x_{i-1}}{x_i}\right) \right], \quad i = 2, 3, \dots, n-1; \\ &\xi u_n^h + \eta \left\{ \varepsilon (x_{n-1/2})^\lambda \cdot a_\lambda (x_{n-1}) \cdot \frac{u_n^h - u_{n-1}^h}{h_{n-1}} + \frac{(f_n + q_n u_n^h)}{\varepsilon(1+\lambda)} \left[ 1 - (x_{n-1/2})^{1+\lambda} \cdot a_\lambda (x_{n-1}) \right] \right\} = \psi. \end{aligned} \right. \tag{30}$$

### Разностная схема для задачи (7)

В случае задачи (7) полностью сохраняются соотношения (17), (18) и (19), (20), причем их можно рассматривать и на приграничной сеточной ячейке  $[x_1, x_2]$ . В результате приходим к системе  $2n$  разностных уравнений для определения  $2n$  неизвестных  $u_i^h, \varphi_i^h$  ( $i = 1, 2, \dots, n$ ):

$$\left\{ \begin{array}{l} u_i^h = \rho, \\ \varepsilon \varphi_i^h + \varepsilon^2 (\lambda - 1) \cdot \frac{u_{i+1}^h - u_i^h}{x_{i+1}^{1-\lambda} - x_i^{1-\lambda}} = \frac{1}{1 + \lambda} (f_i + q_i u_i^h) \left[ x_i^{1+\lambda} + h_i x_{i+1/2} \cdot \frac{\lambda - 1}{x_{i+1}^{1-\lambda} - x_i^{1-\lambda}} \right], \\ \varepsilon \varphi_{i+1}^h + \varepsilon^2 (\lambda - 1) \cdot \frac{u_{i+1}^h - u_i^h}{x_{i+1}^{1-\lambda} - x_i^{1-\lambda}} = \frac{1}{1 + \lambda} (f_{i+1} + q_{i+1} u_{i+1}^h) \left[ x_{i+1}^{1+\lambda} + h_i x_{i+1/2} \cdot \frac{\lambda - 1}{x_{i+1}^{1-\lambda} - x_i^{1-\lambda}} \right], \\ i = 1, 2, \dots, n-1; \quad \xi u_n^h + \eta \varphi_n^h = \psi. \end{array} \right. \quad (31)$$

Система (31), после определения значений решения  $u_i^h$ , позволяет вычислять приближенные величины потоков:  $\varphi_i^h \approx \varepsilon x_i^\lambda u'(x_i)$ . Отметим, что решение задачи (7) обладает особенностью в окрестности левой границы области:  $u'(x) = O(x^{-\lambda})$  при  $x \rightarrow 0$ , что учитывается системой (31). Исключая величины  $\varphi_i^h$  из системы (31) получим разностную схему для определения значений  $u_i^h$  ( $i = 1, 2, \dots, n$ ) решения задачи (7) в узлах сетки:

$$\left\{ \begin{array}{l} u_i^h = \rho, \\ \varepsilon^2 \cdot \left[ (x_{i+1/2})^\lambda a_\lambda \left( \frac{x_i}{x_{i+1}} \right) \cdot \frac{u_{i+1}^h - u_i^h}{h_i} - (x_{i-1/2})^\lambda a_\lambda \left( \frac{x_{i-1}}{x_i} \right) \cdot \frac{u_i^h - u_{i-1}^h}{h_{i-1}} \right] = \\ = \frac{(f_i + q_i u_i^h)}{(1 + \lambda)} \left[ (x_{i+1/2})^{\lambda+1} a_\lambda \left( \frac{x_i}{x_{i+1}} \right) - (x_{i-1/2})^{\lambda+1} \cdot a_\lambda \left( \frac{x_{i-1}}{x_i} \right) \right], \quad i = 2, 3, \dots, n-1; \\ \xi u_n^h + \eta \left\{ \varepsilon (x_{n-1/2})^\lambda \cdot a_\lambda (x_{n-1}) \frac{u_n^h - u_{n-1}^h}{h_{n-1}} + \frac{(f_n + q_n u_n^h)}{\varepsilon(1 + \lambda)} \left[ 1 - (x_{n-1/2})^{\lambda+1} \cdot a_\lambda (x_{n-1}) \right] \right\} = \psi \end{array} \right. \quad (32)$$

### Численные эксперименты

В настоящем разделе представлены результаты численных экспериментов, иллюстрирующие работу предложенных разностных схем (схем ПВИИМ) и позволяющие сравнить их с ранее известными методами решения рассматриваемых задач. С этой целью рассмотрим задачу (3), полагая:

$$q(x) \equiv 1, \quad f(x) \equiv 4, \quad \xi = 2, \quad \eta = 0, \quad \psi = 5. \quad (33)$$

В условиях (33) (задача Дирихле на правой границе области) мы можем для сравнения рассмотреть разностную схему, предложенную А.А.Самарским: для случая  $\lambda = 1$  см. [3,

с. 172]; при  $\lambda = 2$  см. [3, с. 179]. Фиксируя параметр  $\varepsilon = 0,1$  и изменяя число узлов сетки " $n$ ", проиллюстрируем процесс сходимости разностных схем: результаты расчетов представлены в таблице 1 (для  $\lambda = 1$ ) и таблице 2 (для  $\lambda = 2$ ). Роль критерия качества разностной схемы для нас играет величина относительной погрешности:

$$E = \frac{\max_{0 \leq i \leq n} |u(x_i) - u_i^h|}{\max_{0 \leq i \leq n} |u(x_i)|} \cdot 100\%,$$

при этом в качестве значений точного решения  $u(x)$  во всех расчетах мы используем значения приближенного решения, вычисленные при помощи схем (30) или (32) на сетке с достаточно мелким шагом ( $n \sim 1000$ ).

Таблица 1

**Динамика погрешности  $E$  при увеличении числа узлов сетки.  
Задача (3), (33), для  $\varepsilon = 0,1; \lambda = 1$**

Схема \ $n$	8	16	32	54	60
А.А. Самарского	7,760	2,062	0,780	0,212	0,199
ПВИИМ (30)	7,677	2,041	0,773	0,210	0,197

Таблица 2

**Динамика погрешности  $E$  при увеличении числа узлов сетки.  
Задача (3), (33), для  $\varepsilon = 0,1; \lambda = 2$**

Схема \ $n$	8	16	32	54	60
А.А. Самарского	8,910	2,368	0,595	0,245	0,184
ПВИИМ (30)	8,748	2,326	0,584	0,240	0,181

Результаты, представленные в таблицах 1 и 2, говорят о наличии сходимости разностной схемы (30) и схемы Самарского, причем, величины  $E$  относительных погрешностей для предложенной в настоящей работе схемы (30) меньше, чем для схемы Самарского.

Таблица 3

**Динамика погрешности  $E$  при уменьшении параметра  $\varepsilon$ .  
Задача (3), (33), для  $n = 16; \lambda = 1$**

Схема \ $\varepsilon$	1	0,5	0,1	0,05	0,01	0,005	0,001
А.А. Самарского	0,042	0,283	2,062	6,920	3,418	0,936	0,038
ПВИИМ (30)	0,037	0,252	2,041	6,901	3,416	0,935	0,038

Эффект возникновения пограничного слоя и его влияния на точность разностных схем иллюстрирует таблица 3, в которой отражены изменения относительных погрешностей  $E$  при фиксированном значении числа узлов сетки ( $n=16$ ) и уменьшении величины параметра  $\varepsilon$ , который «отвечает» за ширину пограничного слоя [1]. Возникновение



пограничного слоя в задаче (3) (изменение параметра  $\varepsilon$  от 1 до 0,05) влечет ухудшение работы разностных схем, что приводит к увеличению относительных погрешностей. Дальнейшее уменьшение ширины пограничного слоя (изменение параметра  $\varepsilon$  от 0,01 до 0,001) приводит к обратному эффекту: уменьшению относительных погрешностей. Однако этот эффект не говорит об улучшении работы разностных схем, а связан с тем, что на сетке с 16 узлами пограничный слой перестает «разрешаться» вычислительной сеткой; наглядно это представлено на рисунке 1. Эта проблема присуща всем разностным схемам, использующим равномерную сетку, даже обладающим равномерной по  $\varepsilon$  сходимостью [1]; ее решение возможно, если использовать механизм адаптации сетки, встроенный в алгоритм решения задачи.

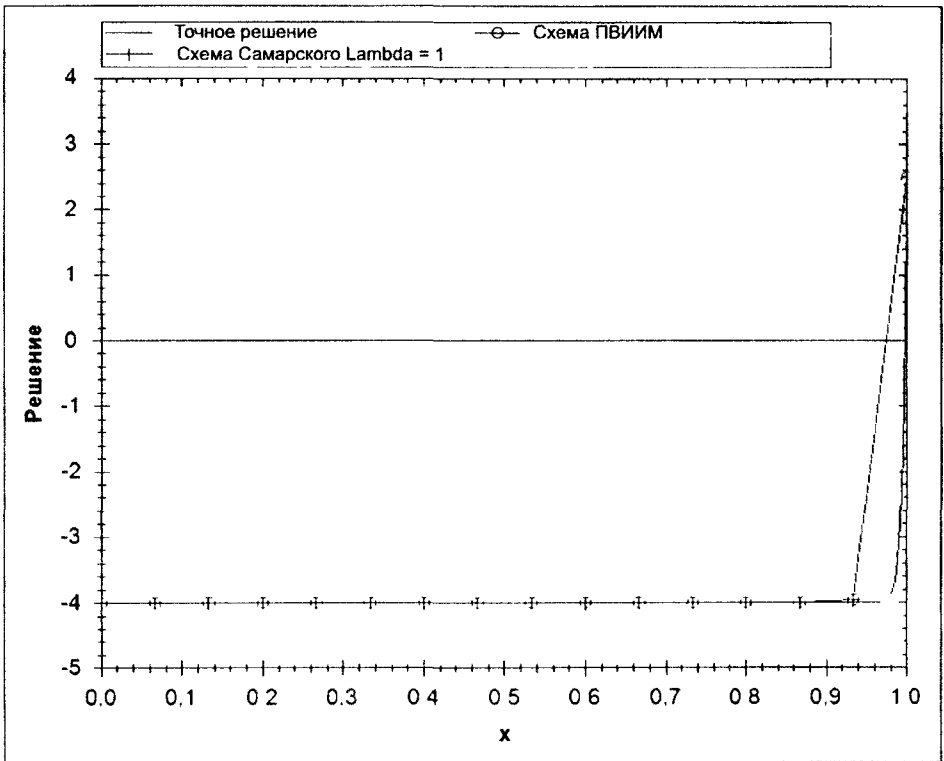


Рис. 1. Эффект пограничного слоя. Задача (3), (33), для  $n = 16; \lambda = 1, \varepsilon = 0,005$

В таблице 4 представлены результаты расчетов с использованием схемы (30) при решении задачи (3) в случае  $\lambda = 2$  и

$$q(x) \equiv 1, f(x) \equiv 4, \xi = 2, \eta = 1, \psi = 10, \quad (34)$$

а также схемы (32) для задачи (7) при  $\lambda = 0,5$  и  $\lambda = 0, \rho = -5$  и значениях (34) для остальных данных задачи. Это задачи с краевыми условиями третьего рода на правой границе области, для решения которых схема Самарского не приспособлена. Динамика погрешностей при фиксированном значении параметра  $\varepsilon = 0,1$  и изменяющемся числе

узлов вычислительной сетки, представленных в таблице 4, иллюстрирует сходимость новых разностных схем во всех рассматриваемых случаях.

Таблица 4

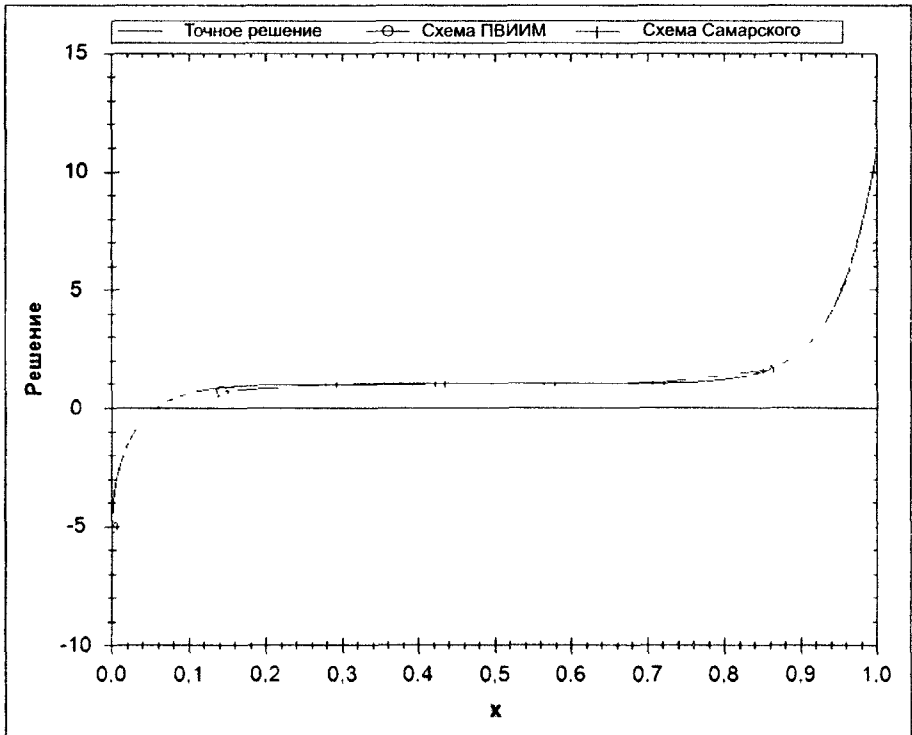
**Динамика погрешности  $E$  при увеличении числа узлов сетки.  
Задачи (3) и (7), для  $\varepsilon = 0, 1$  и в условиях (34)**

$\lambda$	Схема \ $n$	8	16	32	54	60
2	ПВИИМ (30)	17,7099	4,4549	1,08	0,3715	0,2998
0,5	ПВИИМ (32)	20,3113	5,0802	1,2298	0,423	0,3413
0	ПВИИМ (32)	21,2689	5,3127	1,2857	0,4421	0,3568

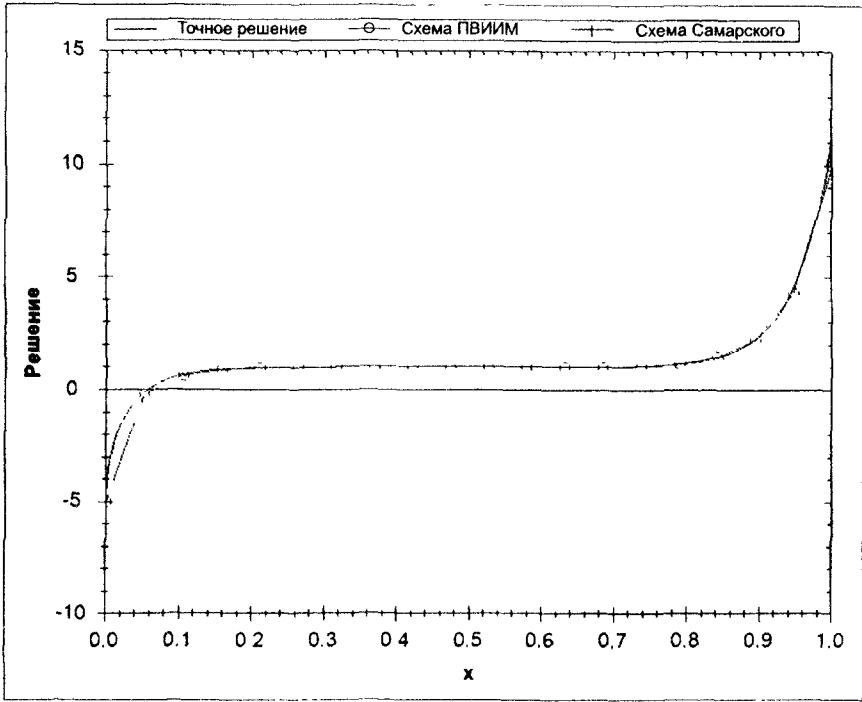
В заключение представим графики точных и приближенных решений задачи (7) при следующих значениях параметров:

$$q(x) \equiv 1, f(x) \equiv -1, \varepsilon = 0,05; \lambda = 0,5; \xi = 0, \eta = 1, \psi = 10, \rho = -5. \quad (35)$$

Отметим, что, в силу (35), граничное условие в точке  $x=1$  является условием Неймана и обычно плохо аппроксимируется. Задача решалась методом (32) при двух различных значениях:  $n=8$  (рис. 2) и  $n=20$  (рис. 3). Графики иллюстрируют наличие двух пограничных слоев и сходимость разностного решения.



**Рис. 2.** Задача (7), (35). Приближенное решение методом (32) при  $n=8$



**Рис. 3.** Задача (7), (35). Приближенное решение методом (32) при  $n=20$

### Литература

1. Дулан Э., Миллер Дж., Шилдерс У. Равномерные численные методы решения задач с пограничным слоем. – М.: Мир, 1983. – 200 с.
2. Рафатов И.Р., Скляр С.Н. Разностные схемы для сингулярно возмущенных краевых задач, возникающих при решении эллиптических уравнений со свойством сферической симметрии // Журнал вычислительной математики и математической физики. – Т. 42. – 2002. – № 5. – С. 1383–1393.
3. Самарский А.А. Теория разностных схем. – М.: Наука, 1983. – 616 с.
4. Скляр С.Н., Бакиров Ж.Ж. Проекционный метод построения разностных схем для задач с пограничными слоями // Изв. НАН Кыргызской Республики. Эхо науки. – 1997. – № 2-3. – С. 36–47.
5. Тихонов А.Н., Самарский А.А. Уравнения математической физики. – М.: Наука, 1966. – 724 с.
6. Фрязинов И.В. О разностных схемах для уравнения Пуассона в полярной, цилиндрической и сферической системах координат // Журнал вычислительной математики и математической физики. – Т. 18. – 1971. – № 5. – С. 1219–1228.
7. Цой П.В. Методы расчета задач тепло-массообмена. – М.: Энергоатомиздат, 1984. – 413 с.
8. Sklyar S.N. A projective version of the integral-interpolation method and its application for the discretization of the singular perturbation problems // Advanced Mathematics: Computations and Applications. Proc. Of the International Conf. AMCA-95 (Novosibirsk, Russia, 20-24 June, 1995). Ed. By A.S.Alekseev and N.S.Bakhvalov. Novosibirsk: NCC Publisher, 1995. P.380-385.
9. Stoyan G. On a difference scheme for the diffusion-convection equation in several coordinate systems // Math. Models Phys. and Chem. and Numer. Meth. Realiz., Semin. Visegrad. Oct., 1982. Leipzig. – P. 142-150.